

插值曲率线与特征线的 B 样条曲面构造

王 飞, 陈发来*, 童伟华

(中国科学技术大学数学科学学院 合肥 230026)
(chenfl@ustc.edu.cn)

摘 要: 插值三维线框模型的曲面构造是几何建模中的一个重要研究问题. 对于给定的三维线框模型, 利用 B 样条乘积理论、微分几何的基础知识以及薄板样条能量, 提出一种构造插值三维线框模型的 B 样条曲面的算法. 首先将线框模型中的曲线分为曲率线(曲面以该线为曲率线)、特征线(曲面在该线处为 G^0 连续)及光滑拼接线(曲面在该线处为 G^1 连续), 并对于曲率线及光滑拼接线推导了 B 样条曲面控制顶点所满足的条件; 然后利用薄板样条能量求解出满足约束条件的光顺 B 样条曲面. 上述算法能够构造出更光顺的曲面, 被广泛地应用于 B 样条曲面构造领域. 通过对若干模型进行测试, 结果验证了文中算法的正确性与有效性.

关键词: 曲率线; 特征线; B 样条曲面; 薄板样条能量

中图分类号: TP391.41 DOI: 10.3724/SP.J.1089.2018.17201

Construction of B-spline Surfaces Interpolating Curvature and Feature Curves

Wang Fei, Chen Falai*, and Tong Weihua

(School of Mathematical Sciences, University of Science and Technology of China, Hefei 230026)

Abstract: Construction of surfaces interpolating 3D curve network is an important research problem in geometric modeling. Given a 3D curve network, a new method is proposed to interpolate the curve network by using the product of two B-spline functions, the fundamental knowledge of differential geometry and the thin-plate-spline energy optimization. The curve segments are specified into three categories: curvature lines of the B-spline surface, feature lines across which the B-spline surface is G^0 continuous, and smooth lines at which the B-spline surface is G^1 continuous. We derive constraint conditions of the control points of the B-spline surface at the curvature lines and smooth lines. Then the B-spline surface patches are constructed by minimizing the thin-plate-spline energy together with the curvature line and smooth constraints. That is fair surfaces using above method which is widely used in the construction of B-spline surfaces. We perform experiments on several models. The results demonstrate the correctness and effectiveness of our method.

Key words: line of curvature; feature line; B-spline surface; thin-plate-spline energy

曲面上的曲率线是一种内在的几何特征, 是曲面上极为重要的一类曲线, 在微分几何中起着非常重要的作用. 曲率线可以指导曲面分析, 广泛应用于几何设计、形状识别以及曲面绘制等领域.

目前已有很丰富的关于曲率线的研究成果. Martin^[1-2]提出了主曲面的概念, 系统地研究了带曲率线边界的曲面片的性质, 并给出只要边界线满足位置和标架匹配方程, 曲面片就能构造出来的

收稿日期: 2018-03-30; 修回日期: 2018-05-21. 基金项目: 国家自然科学基金(11571338, 61877056). 王 飞(1990—), 男, 硕士研究生, 主要研究方向为计算机图形学; 陈发来(1966—), 男, 博士, 教授, 博士生导师, 论文通讯作者, 主要研究方向为 CAGD&CG; 童伟华(1978—), 男, 博士, 副教授, 硕士生导师, 主要研究方向为 CAGD&CG.

结论. Alourdass 等^[3]提出一种构造 B 样条曲面上曲率线网的方法. Che 等^[4]和 Zhang 等^[5]研究了隐式曲面的曲率线的分析和计算方法及其微分几何性质. 李宏坤等^[6]对 NURBS 曲面的曲率线积分进行了系统的公式推导, 并利用 NURBS 曲面的离散法向量有效地简化了曲面第二基本量的计算, 加速了 Euler 法迭代求解曲率线微分方程的计算过程. 李彩云等^[7]提出一种插值曲率线的直纹面可展设计方法. 刘羽^[8]给出插值一条任意参数曲线, 且以其为公共曲率线的各类可展参数曲面束的统一表达式. Li 等^[9]提出以给定曲线为曲率线的参数曲线族的构造方法, 其中曲面的形状可以由 2 个控制函数来控制. 后来, Li 等^[10]又提出一种过给定曲线为曲率线的可展曲面的设计方法.

给定三维线框网格(线框模型), 构造插值该网格的曲面是几何建模中一个基本问题. Farin 等^[11]针对该问题专门设计了特定的曲面重建框架, 并在网格曲线和顶点之间近似实现了所需的连续性. Krishnamurthy 等^[12]给出一种用户交互的方法产生多边形网络, 通过 B 样条曲面拟合该网络生成最终的曲面. Pan 等^[13]给出一个基于曲率流场对齐的自动曲面重建的框架, 但这是一种几何近似方法, 不能严格保证曲面的光滑性与光顺性. Krishnamurthy 等^[12]的方法首先利用稠密的三角网格逼近初始曲面, 然后将三角网格拓扑结构映射到四边形网格拓扑结构, 最后通过 B 样条曲面分片拟合使得拼接处满足 G^1 连续; 该方法虽然严格保证曲面的 G^1 连续, 但其涉及拓扑结构的映射变换, 过程比较复杂. 鉴于上述两方面的问题, 本文提出插值曲率线和特征线的 B 样条曲面构造算法, 即构造的 B 样条曲面以给定曲线段为曲率线, 以给定曲线段为特征线(即曲面在该曲线处为 G^0 连续), 并在其他曲线及顶点(特征点除外, 即只需满足 G^0 连续的顶点)处为 G^1 连续. 首先对于输入的三维线框模型进行 B 样条曲线拟合, 得到需要的边界曲线网; 其次修正边界曲线网, 确定所有约束条件, 包括顶点 G^1 连续拼接条件、边 G^1 连续拼接条件及曲率线条件, 转为相应的 B 样条曲面控制顶点约束; 最后通过求解带约束的薄板样条能量模型, 得到最终插值曲率线和特征线的 B 样条曲面. 本文通过若干实例验证了文中算法的有效性.

1 预备知识

首先给出一些基本的定义与记号.

1.1 B 样条曲线曲面

设 p 是一个正整数, $\Gamma = (t_i)$ 是一个非递减的实数序列, 其中, p, Γ 分别是 B 样条基函数的次数和节点向量. 本文中, B 样条基函数的节点向量选取为

$$\Gamma = \{t_0, \dots, t_p, t_{p+1}, \dots, t_n, t_{n+1}, \dots, t_{n+p+1}\} = \left\{ \underbrace{0, \dots, 0}_{p+1}, t_{p+1}, \dots, t_n, \underbrace{1, \dots, 1}_{p+1} \right\}.$$

(1) B 样条曲线

$$C(t) = \sum_{i=0}^n p_i N_i^p(t), \quad t \in [t_p, t_{n+1}] \quad (1)$$

其中, $p_i \in \mathbb{R}^3 (i = 0, 1, \dots, n)$; $N_i^p(t)$ 是 B 样条基函数, 由 Cox-de Boor 递推公式定义,

$$N_i^p(t) = \frac{t - t_i}{t_{i+p} - t_i} N_i^{p-1}(t) + \frac{t_{i+p+1} - t}{t_{i+p+1} - t_{i+1}} N_{i+1}^{p-1}(t) \quad (2)$$

$$N_i^1(t) = \begin{cases} 1, & t \in [t_i, t_{i+1}) \\ 0, & \text{otherwise} \end{cases}, \quad \text{并规定 } \frac{0}{0} = 0.$$

(2) B 样条曲面

$$P(u, v) = \sum_{i=0}^m \sum_{j=0}^n p_{i,j} N_i^p(u) N_j^q(v) \quad (3)$$

其中, $p_{i,j} \in \mathbb{R}^3 (i = 0, 1, \dots, m; j = 0, 1, \dots, n)$. 节点向量 $U = \{u_0, \dots, u_p, u_{p+1}, \dots, u_m, u_{m+1}, \dots, u_{m+p+1}\}$, $V = \{v_0, \dots, v_q, v_{q+1}, \dots, v_n, v_{n+1}, \dots, v_{n+q+1}\}$. 本文取 $u_0 = u_1 = \dots = u_p = v_0 = v_1 = \dots = v_q = 0$, $u_{m+1} = \dots = u_{m+p+1} = v_{n+1} = \dots = v_{n+q} = 1$.

1.2 曲率线条件

如果曲线在每一点的切向量方向都是其所在曲面的主方向, 则此曲线称为曲面上的曲率线^[14]. 计算曲面上的曲率线的一种常用方法是求解非线性偏微分方程, 而对于其反问题, 即对于已知曲线求以该曲线为曲率线边界的曲面, 是本文考虑的主要问题. 下面给出在微分几何中一条边界曲线为曲率线的等价条件.

定理 1^[14]. 曲面上的一条曲线是曲率线的充分必要条件是: 曲面沿该曲线的法向量的导数与该曲线的切向平行.

基于张量积 B 样条曲面的表达式(3), 根据定理 1, 并利用 Weingarten 映射^[14]得到如下命题.

命题 1. 给定一条空间 B 样条曲线 $C(t)$, 式(3)以其为曲率线边界当且仅当

$$LF - ME = 0 \quad (4)$$

其中, $E = P_u \cdot P_u$, $F = P_u \cdot P_v$, $L = \frac{(P_u, P_v, P_{uu})}{\|P_u \times P_v\|}$, $M =$

$\frac{(P_u, P_v, P_{uv})}{\|P_u \times P_v\|}$. E, F 和 L, M 分别为 B 样条曲面

$P(u, v)$ 的第一、二基本型量.

证明. 不妨记 B 样条曲面 $P: r = r(u, v)$ 上的 B 样条曲线 $C: u = u(t), v = v(t)$, 曲线 C 的法向量场为 $n(u(t), v(t))$. 由定理 1 和 Weingarten 映射得

$$\frac{dn(u(t), v(t))}{dt} \parallel \frac{dr(u(t), v(t))}{dt},$$

即存在函数 $\lambda(t)$ 满足

$$\frac{dn(u(t), v(t))}{dt} = \lambda(t) \frac{dr(u(t), v(t))}{dt}.$$

利用复合函数求导公式, 有

$$\begin{aligned} n_u(u, v) \frac{du}{dt} + n_v(u, v) \frac{dv}{dt} = \\ \lambda(t) \left(r_u(u, v) \frac{du}{dt} + r_v(u, v) \frac{dv}{dt} \right), \end{aligned}$$

上式两边同时点乘因子 $r_u(u, v)$, 得到

$$\begin{aligned} (r_u(u, v) \cdot n_u(u, v)) \frac{du}{dt} + (r_u(u, v) \cdot n_v(u, v)) \frac{dv}{dt} = \\ \lambda(t) \left((r_u(u, v) \cdot r_u(u, v)) \frac{du}{dt} + (r_u(u, v) \cdot r_v(u, v)) \frac{dv}{dt} \right), \end{aligned}$$

$$\text{即 } -L \frac{du}{dt} - M \frac{dv}{dt} = \lambda \left(E \frac{du}{dt} + F \frac{dv}{dt} \right).$$

由于 $u, v (0 \leq u, v \leq 1)$ 的任意性, 要使得上述等

式成立, 则对应项应成比例, 即 $\frac{L}{E} = \frac{M}{F}$. 证毕.

1.3 公共顶点 G^1 连续拼接条件

设 B 样条曲面片集 $\{S_i\}_{i=0}^r$ 具有公共顶点 P . $A_i (i = 0, 1, \dots, r)$ 是在边界线上与顶点 P 有边相连的控制顶点, $D_i (i = 0, 1, \dots, r)$ 是边界线上与控制顶点 A_i 有边相连的控制顶点, $B_i (i = 0, 1, \dots, r)$ 是 B 样条曲面片 $\{S_i\}_{i=0}^r$ 内部与控制顶点 A_i 及 A_{i+1} 都有边相连的控制顶点, 如图 1 所示.

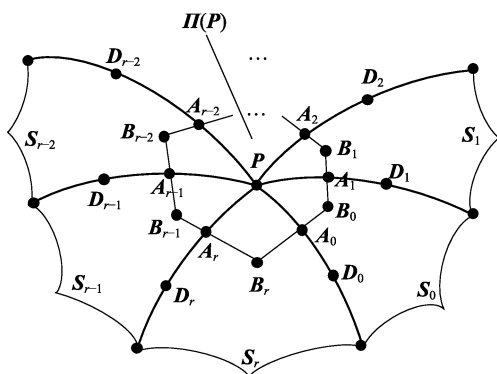


图 1 曲面片交于公共顶点 P

实现曲面片在公共顶点 P 处的 G^1 连续拼接^[15]的步骤如下:

Step1. 确定公共顶点 P 处切平面的法向量.

设 $n_i(P) (i = 0, 1, \dots, r)$ 是曲面片 S_i 在 P 处的单位法向量, 可以按照如下方式

$$n(P) = \frac{\sum_{i=0}^r \omega_i n_i(P)}{\left\| \sum_{i=0}^r \omega_i n_i(P) \right\|} \quad (5)$$

确定曲面片族 $\{S_i\}_{i=0}^r$ 在顶点 P 的公共法向量. 其中,

$\omega_i > 0$ 是权重因子, 满足 $\left\| \sum_{i=0}^r \omega_i n_i(P) \right\| \neq 0$. 此时, 切平面

$\Pi(P)$ 可以由 P 与 $n(P)$ 确定.

Step2. 确定切向点 $A_i (i = 0, 1, \dots, r)$.

将所有的控制顶点 $A_i (i = 0, 1, \dots, r)$ 映射到切平面 $\Pi(P)$. 为了记号简明, 此处依然使用 A_i 表示映射后的切向点. 设 $R_i = A_i - P$, 则存在常数 α_i 满足

$$R_{i+1} + R_{i-1} = \alpha_i R_i \quad (6)$$

设 $\rho_i = \|R_i\|$, 式(6)两边又乘 R_i , 有

$$\rho_i \sin \theta_i = \rho_{i-1} \sin \theta_{i-1} \quad (7)$$

其中, θ_i 是 R_i 与 R_{i+1} 的夹角. 由式(6)(7)有

$$\begin{cases} \rho_{i+1} = \frac{\sin \theta_{i-1}}{\sin \theta_i} \rho_{i-1} \\ \alpha_i = \frac{\rho_{i-1} \sin(\theta_{i-1} + \theta_i)}{\rho_i \sin \theta_i} \end{cases} \quad (8)$$

当 r 是偶数时, ρ_0 和 ρ_1 可以任意选择; 当 r 是奇数时, 仅 ρ_0 可以任意选择.

Step3. 确定扭矢点 $B_i (i = 0, 1, \dots, r)$.

设 $V_i = B_i - P$, $\hat{R}_i = D_i - A_i$.

$$V_i + V_{i-1} = \left(2 + \frac{\beta_i}{5} \right) R_i + \frac{2}{5} \alpha_i \hat{R}_i \quad (9)$$

其中, α_i 由式(8)确定, β_i 可取为权函数 $\gamma(v)$ ^[15]中的参数 c .

2 插值曲率线与特征线的 B 样条曲面构造

本节详细阐述构造插值三维线框模型的 B 样条曲面的算法.

输入三维线框模型, 目标是构造插值线框模型的 B 样条曲面. 本文算法的处理流程如图 2 所示. 首先对于输入的三维线框模型进行 B 样条曲线拟合, 得到需要的边界曲线网; 然后修正边界曲线网, 使得在满足 G^1 连续的顶点处的切向量共面(特征点除外, 即只需满足 G^0 连续的顶点); 再确定所有约束条件, 包括顶点 G^1 连续拼接条件、边 G^1 连续拼接条件及曲率线条件, 转为相应的 B 样条曲面控制顶点约束; 最后通过求解带约束的薄板样条

能量模型, 得到最终插值曲率线和特征线的 B 样条曲面. 图 3 所示为一个利用本文算法构造 B 样条曲面的例子, 每个 B 样条曲面片的控制顶点个数为 15×15 . 蓝色、红色、紫色边界线分别为特征线、曲率线和 G^1 连续拼接线(下文所有图中边界线颜色与此处表示相同的含义).

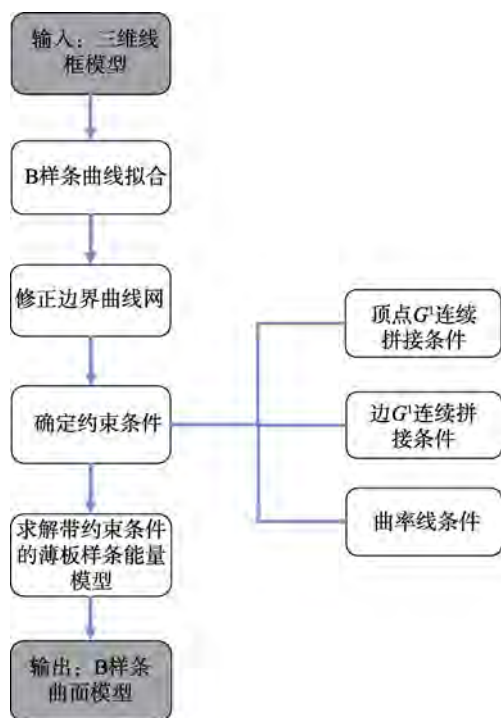


图 2 本文算法的简要流程图

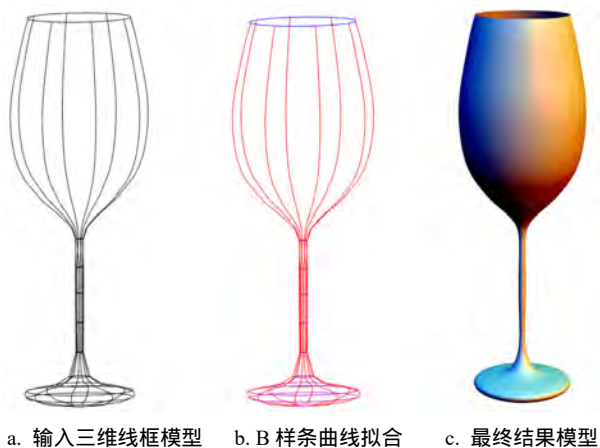


图 3 Wine-glass 模型的 B 样条曲面构造示意图

本文算法是一种局部构造格式, 要求输入的线框模型的顶点的最大度为 5. 用双 5 次的 B 样条曲面, 取两端插值、内部是单节点的节点向量.

2.1 B 样条曲线拟合

对于线框模型中的每段曲线, 通过采样获得

有序点集; 然后通过 B 样条曲线进行拟合, 得到边界曲线网.

曲线拟合问题^[16]: 给定有序点集 $\{y_i\}_{i=0}^m$, 寻找曲线 $f(t)$, 满足 $y_i = f(t_i) + \varepsilon_i$ 且 $\sum_{i=0}^m |\varepsilon_i| \rightarrow \min$. 其中, ε_i 称为残差, $y_i \in \mathbb{R}^3$, $f(t)$ 是曲线拟合函数, 本文使用弦长参数化.

设拟合函数 $f(t)$ 取式(1)的表示形式, 有序点集 $\{y_i\}_{i=0}^m \doteq \{(u_i, v_i, w_i)^T\}_{i=0}^m \doteq Y$, 则 B 样条曲线拟合问题可描述为寻找 B 样条曲线 $C(t)$ 的节点向量 $\{t_i\}_{i=0}^m \doteq T$ 和控制顶点 $\{(x_i, y_i, z_i)^T\}_{j=0}^n \doteq P$, 使之极小化最小二乘误差 Q , 即 $\min Q = \min \|Y - PN\|_2^2$. 其中,

$$N = \begin{pmatrix} N_0^p(t_0) & N_0^p(t_1) & \cdots & N_0^p(t_m) \\ N_1^p(t_0) & N_1^p(t_1) & \cdots & N_1^p(t_m) \\ \vdots & \vdots & \ddots & \vdots \\ N_n^p(t_0) & N_n^p(t_1) & \cdots & N_n^p(t_m) \end{pmatrix}.$$

容易看出, 上述优化问题的解依赖于 B 样条曲线的控制顶点 $\{p_j\}_{j=0}^n \doteq \{(x_i, y_i, z_i)^T\}_{j=0}^n$ 和节点向量 $T = \{t_i\}_{i=0}^m$ 的选取. 为简化计算, 本文中的节点向量取 $T = \{0 = t_0 = \cdots = t_p < t_{p+1} < \cdots < t_n < t_{n+1} = \cdots = t_{n+p+1} = 1\}$; 其中, $t_{j+1} - t_j = \frac{1}{n-p+1}$, $j = p, \cdots, n$. 则该优化问题

转化为求解关于控制顶点 $\{p_j\}_{j=0}^n$ 的线性方程组

$$\frac{\partial Q}{\partial P} = 0, \text{ 即}$$

$$AA^T P = A^T b \quad (10)$$

其中, $P = (x_0, \cdots, x_n, y_0, \cdots, y_n, z_0, \cdots, z_n)^T$, $b = (u_0, \cdots, u_m, v_0, \cdots, v_m, w_0, \cdots, w_m)^T$,

$$A = \begin{pmatrix} N \\ N \\ N \end{pmatrix}.$$

2.2 修正边界曲线网

由于输入线框模型中既有满足 G^1 连续拼接的顶点, 又有特征点(满足 G^0 连续拼接). 对于 G^1 连续拼接的顶点, 各曲面片在顶点处的切向量共面是必要条件. 所以, 首先须对边界曲线网进行修正, 保证该必要条件成立.

设 $\{S_i\}_{i=1}^r$ 是一族共顶点 P 的 B 样条曲面. $A_i (i = 1, \cdots, r)$ 是在公共边界上与顶点 P 相邻的控制顶点, 如图 4 所示.

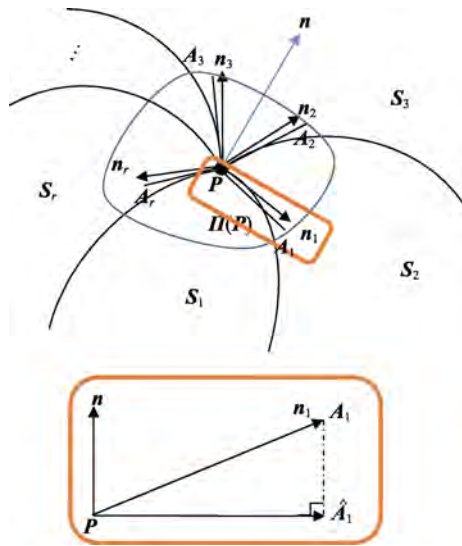


图 4 修正边界曲线

对 G^1 连续拼接的顶点, 按照如下步骤修正边界曲线网^[15]:

Step1. 确定顶点 P 处切平面的法向量 $n(P)$.

设 $n_i(P)$ 是曲面片 S_i 在顶点 P 处的单位法向量. 为了计算方便, 按

$$n(P) = \frac{\sum_{i=1}^r n_i(P)}{r} \quad (11)$$

确定曲面片族 $\{S_i\}_{i=1}^r$ 在顶点 P 的公共法向量. 其中, $n_i(P) = PA_i \times PA_{i+1}$, $i = (1, \dots, r) \bmod r$. 切平面 $\Pi(P)$ 可以由 P 与 $n(P)$ 确定.

Step2. 修正控制顶点 $A_i (i = 1, \dots, r)$.

将所有的控制顶点 $A_i (i = 1, \dots, r)$ 投影到切平面 $\Pi(P)$, 通过

$$\begin{cases} A_i \hat{A}_i \parallel n(P) \\ PA_i \parallel n(P) \end{cases}; i = 1, \dots, r \quad (12)$$

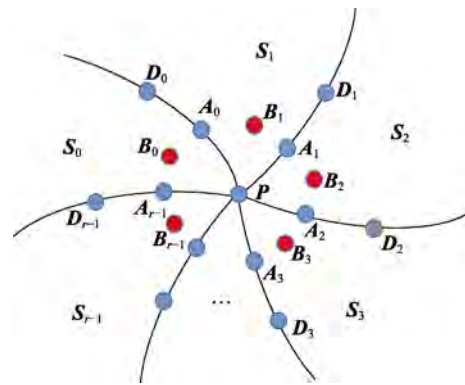
确定投影点 $\hat{A}_i (i = 1, \dots, r)$, 利用式(6)(7)确定修正后的控制顶点. 为了简明记号, 仍记为 $A_i (i = 1, \dots, r)$.

2.3 曲率线、光滑拼接约束条件

本文处理的三维线框模型涉及 3 类曲线: 特征线(曲面在该线处为 G^0 连续)、曲率线和光滑拼接线(曲面在该线处为 G^1 连续). 下面给出确定顶点 G^1 连续拼接条件、边 G^1 连续拼接条件, 以及曲率线条件对应 B 样条曲面的控制顶点所需满足的约束条件的方法.

2.3.1 顶点 G^1 连续拼接条件

图 5 所示为线框模型顶点度为 r 的 G^1 连续拼接条件.

图 5 顶点度为 r 的 G^1 连续拼接约束示意图

由第 1.3 节和 2.2 节知, 设 $V_i = B_i - P$, $\hat{R}_i = D_i - A_i$. 顶点 G^1 连续拼接条件^[15]为

$$V_i = \frac{1}{2} \sum_{j=0}^{r-1} (-1)^j \left(\left(2 + \frac{\beta_{i+j+1}}{5} \right) R_{i+j+1} + \frac{2}{5} \alpha_{i+j+1} \hat{R}_{i+j+1} \right) \quad (13)$$

其中, $i = 0, 1, \dots, r-1$; r 是奇数. 或

$$\begin{cases} V_i = \left(2 + \frac{\beta_i}{5} \right) R_i - V_{i-1} \\ \sum_{j=0}^{r-1} (-1)^j \left(\left(2 + \frac{\beta_i}{5} \right) R_i + \frac{2}{5} \alpha_j \hat{R}_i \right) = 0 \end{cases} \quad (14)$$

其中, $i = 0, 1, \dots, r-1$; r 是偶数.

通过求解方程组式(13)和式(14)确定相关的控制顶点(图 5 中红色点), 以满足顶点 G^1 连续拼接.

2.3.2 边 G^1 连续拼接条件

对于曲面 $S_1(u, v)$, $S_2(w, v)$, 其公共边界为 $\Phi(v) = S_1(0, v) = S_2(0, v)$, $v \in [0, 1]$, 如图 6 所示. 如果 $S_1(u, v)$ 和 $S_2(w, v)$ 在 $\Phi(v)$ 上的每一点都有一致的切平面, 则称两曲面在公共边界线 $\Phi(v)$ 处为 G^1 连续^[17].

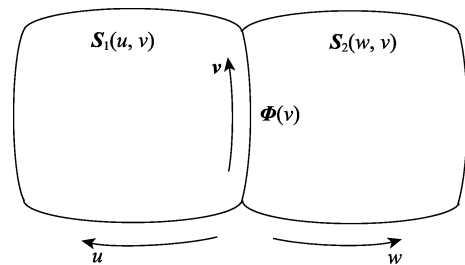
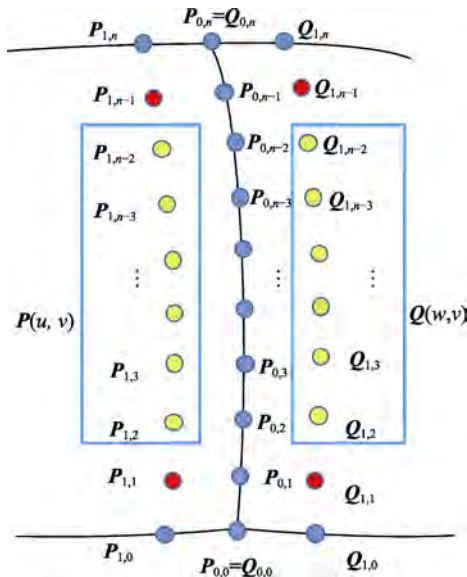


图 6 相邻两曲面片的拼接

本文通过估计两曲面在公共边界线上的法向量的方法, 来确定光滑拼接线约束对应 B 样条曲面的控制顶点(图 7 中黄色点)所满足的条件.

图 7 G^1 连续拼接约束示意图

给定 2 张双 p 次样条曲面 $S_1(u, v)$, $S_2(w, v)$ 的边界曲线

$$\begin{cases} S_1(u, 0) = \sum_{i=0}^n P_{i,0} N_i^p(u) \\ S_1(u, 1) = \sum_{i=0}^n P_{i,n} N_i^p(u) \\ S_1(0, v) = \sum_{j=0}^n P_{0,j} N_j^p(v) \\ S_1(1, v) = \sum_{j=0}^n P_{n,j} N_j^p(v) \\ S_2(w, 0) = \sum_{i=0}^n Q_{i,0} N_i^p(w) \\ S_2(w, 1) = \sum_{i=0}^n Q_{i,n} N_i^p(w) \\ S_2(0, v) = \sum_{j=0}^n Q_{0,j} N_j^p(v) \\ S_2(1, v) = \sum_{j=0}^n Q_{n,j} N_j^p(v) \end{cases} \quad (15)$$

其中, $N_j^p(u)$, $N_j^p(v)$, $N_j^p(w)$, $j = 0, 1, \dots, n$ 是定义在节点向量 $T = \{0 = t_0 < \dots < t_p < t_{p+1} < \dots < t_n < t_{n+1} = \dots = t_{n+p+1} = 1\}$ ($t_{j+1} - t_j = \frac{1}{n-p+1}$, $j = p, \dots, n$) 上的 p

次 B 样条基函数. 确定光滑拼接线约束对应 B 样条曲面控制顶点所满足的条件的步骤如下:

Step1. 通过 Coons 曲面

$$\begin{aligned} S(s, t) &= (1-s) \cdot S(0, t) + s \cdot S(1, t) + (1-t) \cdot S(s, 0) + \\ & t \cdot S(s, 1) - (1-s-s) \begin{pmatrix} S(0,0) & S(0,1) \\ S(1,0) & S(1,1) \end{pmatrix} \begin{pmatrix} 1-t \\ t \end{pmatrix} \end{aligned} \quad (16)$$

插值边界线式(15)确定初始曲面 $S_1(u, v)$, $S_2(w, v)$, 即对于参数对

$$\begin{cases} (u, v) = \left(\frac{i}{n-p+1}, \frac{j}{n-p+1} \right), i, j = 0, 1, \dots, n \\ (w, v) = \left(\frac{i}{n-p+1}, \frac{j}{n-p+1} \right), i, j = 0, 1, \dots, n \end{cases};$$

B 样条曲面 $S_1(u, v)$, $S_2(w, v)$ 确定了初始的控制顶点 $P_{1,j}^0$, $Q_{1,j}^0$, $j = 2, \dots, n-2$.

Step2. 由

$$\begin{cases} n_1(v) = \frac{\partial S_1(u, v)}{\partial u} \Big|_{u=0} \times \frac{\partial S_1(u, v)}{\partial v} \Big|_{u=0} \\ n_2(v) = \frac{\partial S_2(w, v)}{\partial w} \Big|_{w=0} \times \frac{\partial S_2(w, v)}{\partial v} \Big|_{w=0} \end{cases} \quad (17)$$

根据 B 样条乘积理论^[18], 得到曲面 $S_1(u, v)$, $S_2(w, v)$ 在公共边界线 $\phi(v)$ 的法向 $n_1(v)$ 和 $n_2(v)$ 的 B 样条表达式为

$$\begin{cases} n_1(v) = p^2 \sum_{k=0}^{(p+2)(n-p)+2p} P_k N_k^{2p-1}(v) \\ n_2(v) = p^2 \sum_{k=0}^{(p+2)(n-p)+2p} Q_k N_k^{2p-1}(v) \end{cases} \quad (18)$$

式(17)中,

$$\begin{cases} \frac{\partial S_1(u, v)}{\partial u} \Big|_{u=0} = p \sum_{j=0}^n \frac{P_{1,j} - P_{0,j}}{t_{p+1} - t_1} N_j^p(v) \\ \frac{\partial S_1(u, v)}{\partial v} \Big|_{u=0} = p \sum_{j=0}^{n-1} \frac{P_{0,j+1} - P_{0,j}}{t_{j+p+1} - t_1} N_j^{p-1}(v) \\ \frac{\partial S_2(w, v)}{\partial w} \Big|_{w=0} = p \sum_{j=0}^n \frac{Q_{1,j} - Q_{0,j}}{t_{p+1} - t_1} N_j^p(v) \\ \frac{\partial S_2(w, v)}{\partial v} \Big|_{w=0} = p \sum_{j=0}^{n-1} \frac{Q_{0,j+1} - Q_{0,j}}{t_{j+p+1} - t_1} N_j^{p-1}(v) \end{cases};$$

不妨记

$$\begin{cases} H_j^1 \doteq \frac{P_{1,j} - P_{0,j}}{t_{p+1} - t_1}, j = 0, 1, \dots, n \\ H_j^2 \doteq \frac{P_{0,j+1} - P_{0,j}}{t_{j+p+1} - t_1}, j = 0, 1, \dots, n-1 \\ G_j^1 \doteq \frac{Q_{1,j} - Q_{0,j}}{t_{p+1} - t_1}, j = 0, 1, \dots, n \\ G_j^2 \doteq \frac{Q_{0,j+1} - Q_{0,j}}{t_{j+p+1} - t_1}, j = 0, 1, \dots, n-1 \end{cases}.$$

式(18)中, 基函数 $N_k^{2p-1}(v)$ 定义在节点向量

$$\begin{aligned} \bar{T} &= \left\{ \underbrace{0, \dots, 0}_{2p}, \underbrace{t_{p+1}, \dots, t_{p+1}}_{p+2}, \dots, \underbrace{t_n, \dots, t_n}_{p+2}, \underbrace{1, \dots, 1}_{2p} \right\} \text{上,} \\ \begin{cases} P_k = \frac{1}{C_{2p-1}^p} \sum_{p \in \Pi} \sum_{j_1} \sum_{j_2} \alpha_{j_1,p}(k) \alpha_{j_2,p-1}(k) H_{j_1}^1 \times H_{j_2}^2 \\ Q_k = \frac{1}{C_{2p-1}^p} \sum_{p \in \Pi} \sum_{j_1} \sum_{j_2} \alpha_{j_1,p}(k) \alpha_{j_2,p-1}(k) G_{j_1}^1 \times G_{j_2}^2 \end{cases} \end{aligned} \quad (19)$$

P 是集合 $I = \{1, \dots, 2p-1\}$ 中 p 元子集, Π 是 I 集合所有可能的 p 元子集, $\alpha_{j_1,p}(k)$, $\alpha_{j_2,p-1}(k)$ 是离散 B 样条函数.

Step3. 将曲面 $S_1(u, v)$, $S_2(w, v)$ 在边界线 $\Phi(v)$ 的法向 $n_1(v)$, $n_2(v)$ 平均化, 得到两曲面在该线的公共法向

$$n(v) = \frac{n_1(v) + n_2(v)}{2} \quad (20)$$

将式(18)代入式(20), 化简得

$$n(v) = p^2 \sum_{k=0}^{(p+2)(n-p)+2p} \left(\frac{P_k - Q_k}{2} \right) N_k^{2p-1}(v) \quad (21)$$

Step4. 将式(18)中的法向 $n_1(v)$, $n_2(v)$ 使用式(21)代替, 利用 B 样条乘积理论^[18], 对应控制顶点相等, 得到满足光滑拼接线约束对应 B 样条曲面控制顶点 $P_{1,j}$, $Q_{1,j}$ ($j=2, \dots, n-2$) (图 7 中黄色点) 的约束条件

$$\begin{cases} \bar{P}_k = \frac{P_k - Q_k}{2}, \\ \bar{Q}_k = \frac{P_k + Q_k}{2}, \end{cases} \quad k=0, 1, \dots, (p+2)(n-p)+2p \quad (22)$$

其中, \bar{P}_k , \bar{Q}_k 分别是关于控制顶点 $P_{1,j}$, $Q_{1,j}$, $j=(2, \dots, n-2)$ 的关系式. 具体表达式同式(19).

所以, 曲面 $S_1(u, v)$ 中光滑拼接线约束对应 B 样条曲面控制顶点 $P_{1,j}$ ($j=2, \dots, n-2$) 的约束条件为

$$\bar{P}_k = \frac{P_k - Q_k}{2}, \quad k=0, 1, \dots, (p+2)(n-p)+2p \quad (23)$$

该约束条件本质上是关于控制顶点 $P_{1,j}$ 的线性方程组, 该方程组一定有解, 其中一个显然的解是 $P_{1,j} =$

$$\frac{P_{1,j}^0 - Q_{1,j}^0}{2} + P_{0,j}, \quad j=2, \dots, n-2.$$

注: 其他满足光滑拼接的 B 样条曲面的相关控制顶点约束条件, 可以类似确定.

2.3.3 插值曲线条件

双 p 次 B 样条曲面 $P(u, v)$, $(u, v) \in [0, 1]^2$, 其四条 B 样条边界线为

$$\begin{cases} r_i(u) = \sum_{j=0}^n p_j^i N_j^p(u), u \in [0, 1], i=1, 3 \\ r_i(v) = \sum_{j=0}^n p_j^i N_j^p(v), u \in [0, 1], i=2, 4 \end{cases}$$

其中, 控制顶点 $p_j^i \in \mathbb{R}^3$, $i=1, 2, 3, 4$; $j=0, 1, \dots, n$.

$N_j^p(u)$, $N_j^p(v)$ ($j=0, 1, \dots, n$) 是定义在节点向量

$$T = \{0 = t_0 < \dots < t_p < t_{p+1} < \dots < t_n < t_{n+1} = \dots = t_{n+p+1} = 1\}$$

上的 p 次 B 样条基函数. 下面导出该 B 样条曲面以边界线 $r_1(u)$ 为曲率线的约束条件.

由命题 1 知, B 样条曲线 $r_1(u)$ 是该 B 样条曲面的曲率线的充分必要条件是 $LF - ME = 0$. 将式(3)代入并令 $v=0$, 即得

$$[P_{uu} \cdot (P_u \times P_v)](P_u \cdot P_v) = [P_{uv} \cdot (P_u \times P_v)](P_u \cdot P_u) \quad (24)$$

其中,

$$\begin{cases} P_u = p \sum_{i=0}^{m-1} \frac{P_{i+1,0} - P_{i,0}}{u_{i+p+1} - u_{i+1}} N_i^{p-1}(u) \doteq p \sum_{i=0}^{m-1} A_i N_i^{p-1}(u) \\ P_v = p \sum_{i=0}^m \frac{P_{i,1} - P_{i,0}}{v_{p+1} - v_1} N_i^p(u) \doteq p \sum_{i=0}^m B_i N_i^p(u) \\ P_{uu} = p(p-1) \sum_{i=0}^{m-2} \frac{1}{u_{i+p+1} - u_{i+1}} \left(\frac{P_{i+2,0} - P_{i+1,0}}{u_{i+p+2} - u_{i+2}} - \frac{P_{i+1,0} - P_{i,0}}{u_{i+p+1} - u_{i+1}} \right) N_i^{p-2}(u) \doteq p(p-1) \sum_{i=0}^{m-2} C_i N_i^{p-2}(u) \\ P_{uv} = p^2 \sum_{i=0}^{m-1} \frac{1}{v_{p+1} - v_1} \left(\frac{P_{i+1,1} - P_{i+1,0} - P_{i,1} + P_{i,0}}{u_{i+p+1} - u_{i+1}} \right) N_i^{p-1}(u) \doteq p^2 \sum_{i=0}^{m-1} D_i N_i^{p-1}(u) \end{cases} \quad (25)$$

利用 B 样条乘积理论^[18]与式(25)可得关系式

$$\begin{cases} P_u \cdot P_u = p^2 \sum_{i=0}^{m_1} \bar{A}_i N_i^{2p-2}(u) \\ P_u \cdot P_v = p^2 \sum_{i=0}^{m_2} \bar{B}_i N_i^{2p-1}(u) \\ P_u \times P_v = p^2 \sum_{i=0}^{m_3} \bar{C}_i N_i^{2p-1}(u) \\ P_{uv} \cdot (P_u \times P_v) = p^4 \sum_{i=0}^{m_5} \bar{E}_i N_i^{3p-2}(u) \\ P_{uu} \cdot (P_u \times P_v) = p^3(p-1) \sum_{i=0}^{m_4} \bar{D}_i N_i^{3p-3}(u) \end{cases} \quad (26)$$

其中, 参数 $\bar{A}_i, \bar{B}_i, \bar{C}_i, \bar{D}_i, \bar{E}_i, m_1, m_2, m_3, m_4, m_5$ 可由 B 样条乘积公式^[18]确定. 下面给出 \bar{B}_i 和 m_2 的具体表达式, 其他参数的表达式类似. 不妨记

$$\begin{cases} f_1(u) = P_u = p \sum_{i=0}^{m-1} A_i N_i^{p-1}(u) \\ f_2(u) = P_v = p \sum_{i=0}^m B_i N_i^p(u) \end{cases}$$

其节点向量分别为

$$\begin{aligned} U_1 &= \left\{ \underbrace{0, \dots, 0}_p, u_{p+1}, \dots, u_n, \underbrace{1, \dots, 1}_p \right\}, \\ U_2 &= \left\{ \underbrace{0, \dots, 0}_{p+1}, u_{p+1}, \dots, u_n, \underbrace{1, \dots, 1}_{p+1} \right\}. \end{aligned}$$

则由 B 样条乘积理论^[18]有

$$f_1(u) \cdot f_2(u) = p^2 \sum_{k=0}^{(p+2)(n-p)+2p} h_k N_i^{2p-1}(u),$$

其中, 基函数 $N_i^{2p-1}(u)$ 定义在节点向量 \bar{U} 上,

$$\bar{U} = \left\{ \underbrace{0, \dots, 0}_{2p}, \underbrace{u_{p+1}, \dots, u_{p+1}}_{p+2}, \dots, \underbrace{u_n, \dots, u_n}_{p+2}, \underbrace{1, \dots, 1}_{2p} \right\} = \{\bar{u}_0, \bar{u}_1, \dots, \bar{u}_{(p+2)(n-p)+4p}\},$$

$$h_k = \frac{1}{C_{2p-1}^{p-1}} \sum_{P \in \Pi} \sum_{j_1} \sum_{j_2} \alpha_{j_1, p-1, U_1, u^P}(k) \cdot \alpha_{j_2, p, U_2, u^Q}(k) A_{j_1} \cdot B_{j_2},$$

$$u^P = \{\dots, \bar{u}_k, \bar{u}_{k+p_1}, \dots, \bar{u}_{k+p_{p-1}}, \bar{u}_{k+2p-2}, \dots\},$$

$$u^Q = \{\dots, \bar{u}_k, \bar{u}_{k+q_1}, \dots, \bar{u}_{k+q_p}, \bar{u}_{k+2p-2}, \dots\},$$

$P = \{p_1, \dots, p_{p-1}\}$ 是集合 $I = \{1, \dots, 2p-1\}$ 中 $p-1$ 元子集, $Q = \{q_1, \dots, q_p\} = I - P$, Π 是 I 集合所有可能的 $p-1$ 元子集, $\alpha_{j_1, p-1, U_1, u^P}(k), \alpha_{j_2, p, U_2, u^Q}(k)$ 是离散 B 样条函数.

所以, $\bar{B}_i = h_k, m_2 = (p+2)(n-p) + 2p$.

因此, 插值曲率线条件式(24)可转化为关于控制顶点 $p_{i+2,0}, p_{i+1,0}, p_{i+1,1}, p_{i,0}, p_{i,1}$ 的表达式. 即

$$\sum_{i=0}^{\bar{m}} [(p-1)\bar{P}_i - p\tilde{P}_i] N_i^{5p-4}(u) = 0 \quad (27)$$

由于 $\{N_i^{5p-4}(u)\}$ 是样条空间的一组基, 因此式(27)等价于

$$(p-1)\bar{P}_i - p\tilde{P}_i = 0, (i = 0, 1, \dots, \bar{m}) \quad (28)$$

其中, $\bar{P}_i, \tilde{P}_i, \bar{m}$ 由 $\bar{A}_i, \bar{B}_i, \bar{C}_i, \bar{D}_i, \bar{E}_i$ 以及 m_1, m_2, m_3, m_4, m_5 确定.

图 8 所示为 2 张带公共曲率线边界的 B 样条曲面片的拼接结果, 每个 B 样条曲面的控制顶点数为 10×10 .

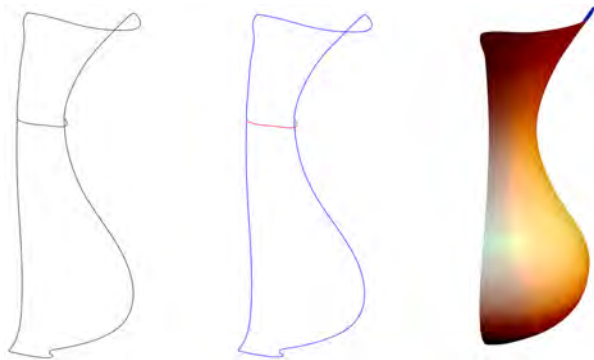


图 8 1/4-vase 模型的 B 样条曲面构造示意图

2.4 插值曲率线与特征线的 B 样条曲面的构造算法

设 S_k, S_{k+1}, S_i 和 S_{i+1} 是相邻的 4 片 B 样条曲面. 边界线 Γ_i 是曲率线, Γ_j 是 G^1 连续拼接线, 顶点

P 处满足 G^1 光滑拼接, 如图 9 所示.

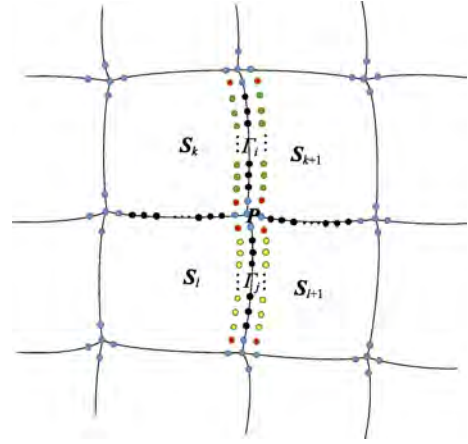


图 9 满足约束条件的 B 样条曲面构造示意图

基于第 2.1 节~第 2.3 节的讨论, 通过顶点 G^1 连续拼接约束条件式(13)和式(14), 确定相应的 B 样条曲面控制顶点(图 9 中红色点). 对于边 G^1 连续拼接约束条件式(23), 插值曲率线约束条件式(28), 对应的 B 样条曲面控制顶点分别为图 9 中红色点、黄色点和绿色点. 通过求解带约束条件的薄板能量模型式

$$E(P(u, v)) = \min \int_0^1 \int_0^1 (\|P_{uu}(u, v)\|^2 + 2\|P_{uv}(u, v)\|^2 + \|P_{vv}(u, v)\|^2) du dv, \quad (29)$$

$$\text{s.t.} \begin{cases} \bar{P}_k = \frac{P_k - Q_k}{2}, k = 0, 1, \dots, (p+2)(n-p) + 2p \\ (p-1)\hat{P}_1 - p\tilde{P}_i = 0, i = 0, 1, \dots, \bar{m} \end{cases}$$

构造插值曲率线和特征线的 B 样条曲面. 其中, $\bar{P}_k, P_k, Q_k, \hat{P}_i, \tilde{P}_i$ 和 \bar{m} 确定的详细过程见第 2.2.2 节与第 2.2.3 节.

算法 1. 插值曲率线和特征线的 B 样条曲面的构造.

输入. 初始三维线框模型.

输出. 插值曲率线与特征线的 B 样条曲面.

Step1. 对输入的三维线框模型进行 B 样条曲线拟合, 即求解方程组式(10), 得到边界曲线网 $\{\Gamma_k^1\}_{k=0}^{l_1}$.

Step2. 将边界曲线网中的曲线分为曲率线 $\{\Gamma_k^2\}_{k=0}^{l_2}$ (B 样条曲面以该线为曲率线)、特征线 $\{\Gamma_k^2\}_{k=0}^{l_2}$ (B 样条曲面在该线处为 G^0 连续), 以及光滑拼接线 $\{\Gamma_k^3\}_{k=0}^{l_3}$ (B 样条曲面在该线处为 G^1 连续). $l_1 + l_2 + l_3 + 2 = l$.

Step3. 修正边界曲线网, 即对满足 G^1 连续拼接的顶点求解式(12)、式(6)和式(7), 更新相应的控制顶点.

Step4. 求解方程组式(13)和式(14), 确定满足顶点 G^1 连续拼接约束的 B 样条曲面的控制顶点(图 9 中的红色点).

Step5. 推导满足边 G^1 连续拼接条件和插值曲率线条件对应 B 样条曲面的控制顶点的约束条件式(23)与式(28).

Step6. 对每个面片求解带约束条件的薄板样条能量模型式(29), 得到最终的插值曲率线与特征线的 B 样条曲面模型.

3 实验结果与分析

使用 C++ 语言和 Matlab 实现了本文中的所有算法, 数值实验都是在一台 Intel® Core™ i7-5500 2.40 GHz CPU, 8 GB RAM 的计算机上运行的.

3.1 参数选取

本文中, B 样条曲线的次数为 $p=5$, B 样条曲面的次数为 $p \times q = 5 \times 5$, 控制顶点数量为 $n \times n$, n 的取值取决于初始模型的规模.

3.2 实验结果

为了验证本文算法的有效性, 对不同规模的输入模型进行了实验.

对于不同类型的边界曲线, 其对结果的影响是不同的. 如图 10 所示, 3 行的上下边界都是特征线, 第 1 行 4 条中间边界线均取为直的曲率线, 第 2 行的相对 2 个边界线选取相同类型的线型(红色为曲率线, 紫色为光滑拼接线), 第 3 行 4 条中间曲线均取为 30 rad 的曲率线. 图 10 中, 每个 B 样条曲面的次数为 13×13 .

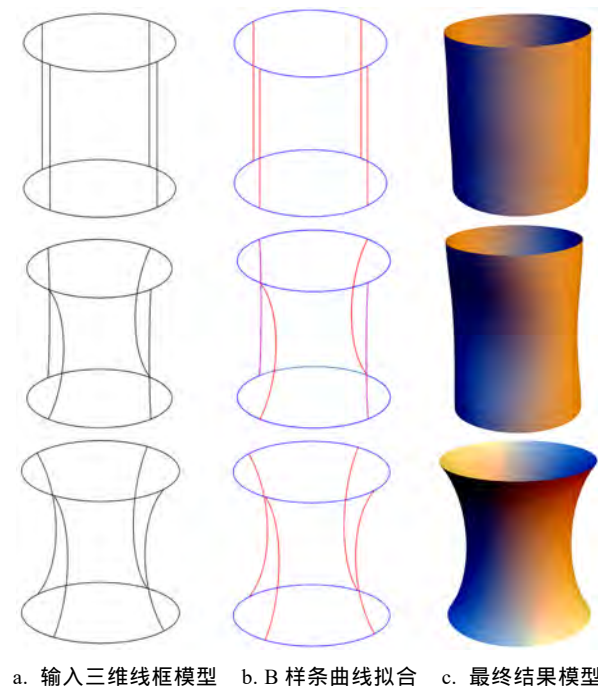


图 10 Cylinder 模型的 B 样条曲面构造示意图

对于不同规模的输入模型, 本文算法都有比较好的结果. 图 8, 图 10 分别有 2 片和 4 片 B 样条曲面, 图 11~图 14 分别有 26, 32, 38 和 52 片 B 样条曲面, 图 3 有 58 片 B 样条曲面.

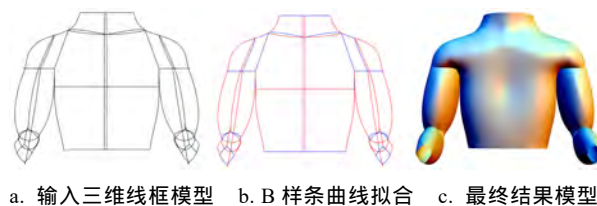


图 11 Torso 模型的 B 样条曲面构造示意图

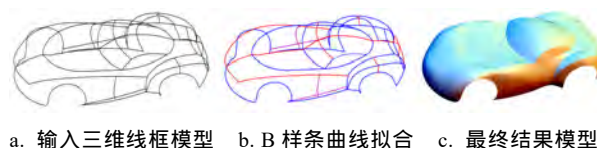


图 12 Roadster 模型的 B 样条曲面构造示意图

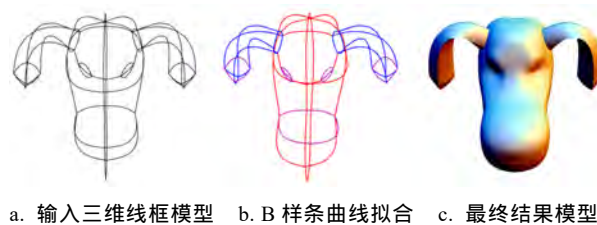


图 13 Dog-head 模型的 B 样条曲面构造示意图



图 14 Taxi 模型的 B 样条曲面构造示意图

3.3 算法运行时间

本文算法主要由两部分构成: 一是初始的 B 样条曲线拟合过程, 需要求解一个最小二乘问题; 二是插值曲率线和特征线的 B 样条曲面构造算法. 算法的核心是求解带非线性约束的二次优化问题. 容易看出, 后者中迭代求解非线性方程组^[19]是本文算法的主要瓶颈, 占用了比较多的运行时间. 表 1 所示为本文算法对于不同模型求解的运行时间, 可以看出, 目前的代码运行速度还不够理想(部分原因是因为本文使用 C++, Matlab 和 Mathematica 混合编程迭代求解非线性方程组导致的), 未来可以研究对其进行加速.

表 1 数值实验的运行时间

输入模型	B 样条 曲面片数	B 样条 曲面次数	B 样条曲面 控制顶点数	运行时间/s
1/4-vase	2	5×5	10×10	1.58
Cylinder	4	5×5	13×13	2.95
Torso	26	5×5	13×13	21.02
Roadster	32	5×5	14×14	29.46
Dog-head	38	5×5	14×14	43.39
Taxi	52	5×5	15×15	68.12
Wine-glass	58	5×5	15×15	83.35

4 结 语

本文给出了 B 样条曲面的边界曲线为曲率线所需满足的条件,并基于该条件、 G^1 连续条件、特征线条件以及薄板样条能量模型,提出构造插值三维线框模型的 B 样条曲面的算法.首先对于输入的三维线框模型进行 B 样条曲线拟合,得到需要的边界曲线网;然后修正边界曲线网,确定所有约束条件,包括顶点 G^1 连续拼接条件、边 G^1 连续拼接条件及曲率线条件,转为相应的 B 样条曲面控制顶点约束;最后通过求解带约束的薄板样条能量模型,得到最终插值曲率线和特征线的 B 样条曲面.实验表明,本文算法是正确有效的.

然而,本文算法也存在一些问题,有待进一步的研究.首先,因为文中曲率线条件是一个关于控制顶点的非线性方程组,需要通过非线性最小二乘迭代求解,所以得到的是近似解.因此,曲率线条件不能精确满足,是近似曲率线.此外,本文算法的运行速度还不够理想,需要进一步的加速处理:一方面,可以研究更快地求解非线性方程组的算法;另一方面,算法实现上可以考虑纯 C++ 编程实现,并考虑使用 GPU 并行技术来加速求解二次方程组.

参考文献(References):

- [1] Martin R R. Principal patches for computational geometry[D]. Cambridge: University of Cambridge, 1982
- [2] Martin R R. Principal patches - a new class of surface patch based on differential geometry[C] //Proceedings of Eurographics. Aire-la-Ville: Eurographics Association Press, 1983, 83: 47-55
- [3] Alourdas P G, Hottel G, Tuohy S T. A design and interrogation system for modelling with rational B-spline[J]. Faring Lines, 1990, 1: 555-565
- [4] Che W J, Paul J C, Zhang X P. Lines of curvature and umbilical points for implicit surfaces[J]. Computer Aided Geometric Design, 2007, 24: 395-409
- [5] Zhang X P, Che W J, Paul J C. Computing lines of curvature for implicit surfaces[J]. Computer Aided Geometric Design, 2009, 26: 923-940
- [6] Li Hongkun, Wang Guojin, Liu Ligang. B-spline expression of integral curvature line on NURBS surface[J]. Journal of Computer-Aided Design & Computer Graphics, 2006, 18(3): 390-395(in Chinese)
(李宏坤, 王国瑾, 刘利刚. NURBS 曲面上积分曲率线的 B 样条表示[J]. 计算机辅助设计与图形学学报, 2006, 18(3): 390-395)
- [7] Li Caiyun, Xiang Xin, Zhu Chungang. Design of a ruled developable surface through the line of curvature[J]. Journal of Image and Graphics, 2016, 21(4): 527-531(in Chinese)
(李彩云, 项 昕, 朱春钢. 插值曲率线的直纹面可展设计[J]. 中国图象图形学报, 2016, 21(4): 527-531)
- [8] Liu Yu. Inverse design of all kinds of surfaces with constraints and curve reduction approximation[D]. Hangzhou: Zhejiang University, 2012(in Chinese)
(刘 羽. 带约束的各类曲面逆向设计和曲线降阶逼近[D]. 杭州: 浙江大学, 2012)
- [9] Li C Y, Wang R H, Zhu C G. Parametric representation of a surface pencil with a common line of curvature[J]. Computer-Aided Design, 2011, 43: 1110-1117
- [10] Li C Y, Wang R H, Zhu C G. An approach for designing a developable surface through a given line of curvature[J]. Computer-Aided Design, 2013, 45: 621-627
- [11] Farin G, Hansford D. Discrete coons patches[J]. Computer Aided Geometric Design, 1999, 16: 691-700
- [12] Krishnamurthy V, Levoy M. Fitting smooth surfaces to dense polygon meshes[C] //Proceedings of the 23rd Annual Conference on Computer Graphics and Interactive Techniques. New York: ACM Press, 1996: 313-324
- [13] Pan H, Liu Y, Sheffer A, et al. Flow aligned surfacing of curve networks[J]. ACM Transactions on Graphics, 2015, 34(4): Article No.127
- [14] Mei Xiangming, Huang Jingzhi. Differential geometry[M]. Beijing: Higher Education Press, 2003(in Chinese)
(梅向明, 黄敬之. 微分几何[M]. 北京: 高等教育出版社, 2003)
- [15] Shi X Q, Wang T J, Yu P Q. A practical construction of G^1 smooth biquintic B-spline surfaces over arbitrary topology[J]. Computer-Aided Design, 2004, 36: 413-424
- [16] Borges C F, Pastva T. Total least squares fitting of Bézier and B-spline curves to ordered data[J]. Computer Aided Geometric Design, 2002, 19: 275-289
- [17] Wang Guojin, Wang Guozhao, Zheng Jianmin. Computer aided geometric design[M]. Beijing: Higher Education Press, 2001: 18-55(in Chinese)
(王国瑾, 汪国昭, 郑建民. 计算机辅助几何设计[M]. 北京: 高等教育出版社, 2001: 18-55)
- [18] Mørken K. Some identities for products and degree raising of splines[J]. Constructive Approximation, 1991, 7: 195-208
- [19] Zheng Zhoushun, Po Lo. A iterative method of solving the nonlinear least square problem[J]. Mathematical Theory and Applications, 2002, 22(1): 43-45(in Chinese)
(郑洲顺, 普 乐. 非线性最小二乘问题的一种迭代解法[J]. 数学理论与应用, 2002, 22(1): 43-45)